

UNION FEDERAL DE TRABAJADORES Y EMPLEADOS
DE LOS SERVICIOS DE LA CIUDAD DE MEXICO

CONSTITUCION

ARTICULO

El presente Reglamento de Trabajo y Salario, se aplicara a los trabajadores y empleados de la Union Federal de Trabajadores y Empleados de los Servicios de la Ciudad de Mexico.

El presente Reglamento de Trabajo y Salario, se aplicara a los trabajadores y empleados de la Union Federal de Trabajadores y Empleados de los Servicios de la Ciudad de Mexico.

El presente Reglamento de Trabajo y Salario, se aplicara a los trabajadores y empleados de la Union Federal de Trabajadores y Empleados de los Servicios de la Ciudad de Mexico.

ARTICULO

OBJETIVO

El presente Reglamento de Trabajo y Salario, se aplicara a los trabajadores y empleados de la Union Federal de Trabajadores y Empleados de los Servicios de la Ciudad de Mexico.

ARTICULO

1. El presente Reglamento de Trabajo y Salario, se aplicara a los trabajadores y empleados de la Union Federal de Trabajadores y Empleados de los Servicios de la Ciudad de Mexico.

2. El presente Reglamento de Trabajo y Salario, se aplicara a los trabajadores y empleados de la Union Federal de Trabajadores y Empleados de los Servicios de la Ciudad de Mexico.

3. El presente Reglamento de Trabajo y Salario, se aplicara a los trabajadores y empleados de la Union Federal de Trabajadores y Empleados de los Servicios de la Ciudad de Mexico.

4. El presente Reglamento de Trabajo y Salario, se aplicara a los trabajadores y empleados de la Union Federal de Trabajadores y Empleados de los Servicios de la Ciudad de Mexico.

El presente Reglamento de Trabajo y Salario, se aplicara a los trabajadores y empleados de la Union Federal de Trabajadores y Empleados de los Servicios de la Ciudad de Mexico.

VYSOKÁ ŠKOLA STROJNÍ A TEXTILNÍ V LIBERCI
NOSITELKA ŘÁDU PRÁCE

Fakulta strojní

Obor 23-21-8

Strojní zařízení pro chemický, potravinářský a spotřební průmysl.

Katedra textilních a oděvních strojů

Elektricky regulovaná brzdička

Richard Fišer

KTS-1009092

Vedoucí práce : Doc. Ing. Jiří Mrásek, CSc.

Resumé práce

počet stran : 33
počet obrázků : 26
počet tabulek : 0
počet příloh : 8

V Liberci 5.5 1987

HISTORICKÉ PROHLÁŠENÍ

Historicky prohlášu, že jsem diplomovou práci vypracoval samostatně s použitím uvedené literatury.

VYSOKÁ ŠKOLA STROJNÍ A TEXTILNÍ
Ústřední knihovna
LIBEREC 1, STUDENTSKÁ 8
POŠ 401 17

V 39/87 S

KTS-TS

rozhodnutí

Úřad a rada vyslovují své poděkování vedoucímu diplomové práce Doc. Ing. Jiřímu Kráskovi, CSc. za odborné vedení, příkladnou ochotu, odborné rady a podnětné připomínky při vypracování diplomové práce.

Zároveň děkují Ing. Ešenkovi Vituzvišovi za ochotu a pomoc při řešení odborných otázek.

Obsah

1. Seznam použitých symbolů
 1. Úvod
 2. Obecná část
 - 2.1. Současný stav řešení brzdíček a jejich hodnocení
 - 2.1.1. Brzdíčky hřebenevé
 - 2.1.2. Brzdíčky talířkové
 3. Příčiny snížení tahových sil v procesu soukání nebo skování
 - 3.1. ~~Principy~~ odělení rotace talířku brzdíčky
 4. Konstrukční návrh nové brzdíčky
 - 4.1. Princip nové samočisticí brzdíčky přise
 - 4.2. Popis samočisticí brzdíčky s dvojpalcovým hřebínkem
 - 4.3. Činnost samočisticí brzdíčky
 - 4.4. Technický rotace talířku
 - 4.4.1. Vyjádření momentu úhlu
 - 4.4.2. Skutečný průběh M_n v závislosti na
 - 4.4.3. Vliv vadivosti průchodu přise od středu talířku
 5. Praktické ověření funkčnosti samočisticí brzdíčky
 - 5.1. Měření koeficientu tření mezi přisí a talířkem
 - 5.2. Měření koeficientu tření mezi hřebínkem a leštěnou
ocelovou plochou
 6. Technický zprávu talířku
 7. Závěr
- Seznam použité literatury

SEZNAM POUŽITÝCH SYMBOLŮ

- a vzdálenost páteř hřebínku /mm/
 a základ přirozených logaritmů /-/
 f_0 obecný koeficient smykové tření /-/
 f_2 koeficient tření mezi přími a kovanou plochou /-/
 f_1 koeficient tření mezi přími a leštěnou plochou /-/
 f koeficient tření mezi hřebínkem a leštěnou plochou /-/
 f_{sp} koeficient tření mezi přími a talířkem /-/
 f_{hp} koeficient tření mezi přími a hřebínkem /-/
 F přítlačná síla /N/
 F_0 vstupní síla /N/
 F_1 výstupní síla /N/
 G hmotnost závaží /g/
 G' hmotnost závaží /g/
 M_H hnací moment /N.mm/
 M_0 odporový moment /N.mm/
 N_2, N_1, N normální síly (reakce) /N/
 R vnější poloměr talířku /mm/
 R_1 vnitřní poloměr zářezové plochy /mm/
 S přítlačná síla vytvořená el.-mash. měničem /N/
 α úhel opěrání /rad/
 φ úhel nastavení hřebínku /°/

1. Úvod

Neustále se zvyšující počet obyvatel a rostoucí nároky na kvalitu textilních výrobků si vynucují stále vyšší úroveň textilních strojů. Vedle vysoké produktivity práce, nároků na spolehlivost a jednoduchost obsluhy se v současné době klade velký důraz na snižování spotřeby energie. Jednou se sákladních podmínek výroby kvalitativního výrobku, nejen v textilní výrobě ale i v ostatních odvětvích národního hospodářství, je kvalitní surovina, palivo a výrobní zařízení.

Kež se stane s vlákna výsledná textilie musí vlákna projít po sobě následujícími operacemi v průběhu kterých se postupně zpracovává soustava vláken na pramen, přísi. Za prochází přes různé technologické úpravy jako jsou na př. šli-
chtování, barvení, převíjení na křížové cívky nebo dále na osnovní vály. Po projití těchto operací je příse připravena k vlastním vytráčení textilie a to tkaním nebo pletením. Po těchto procesech následují úpravářské technologie na zlepšení vlastností konečné textilie (lesk, barva, nakřivost, nehořlavá úprava, vzdušnost, fixace a pod.) Úvedených vlastností se dosahuje různými úpravami materiálu jako jsou lízevání, polehování, kalandrování, praní atd. Takto připravený materiál se nastříhá na určitou délku a příse se dává do oběhu nebo dále zpracovává na konečný tvar výrobku.

Z předchozího vyplývá, že výsledná kvalita výrobku je závislá na kvalitě provedení jednotlivých operací ve výrobním cyklu.

Důležitou operací která v textilním průmyslu zabírá velmi mnoho času je technologické zpracování příse. Každý

tante technologický proces, ať je to již snování nebo sou-
kání probíhá při určité napjatosti příze. V současné době,
kdy se snažíme čas zpracování zkrátit na minimum, pracujeme
s velmi vysokými rychlostmi převíjení příze. I při těchto
rychlostech je velmi nutné udržet napětí v potřebné výši
při minimálním kolísání. Jestliže při zpracování překročí
napětí v přízi maximální nebo minimální nos, má to téměř
vždy za následek vznik vady. Mnohdy se však tato vada pro-
jeví až při dalším zpracování. Vznikají takové chyby jako
je pruživost, nerovnoměrná očka při pletení, špatná stej-
noměrnost při barvení a pod. Tyto vady samozřejmě vedou
ke snížení hodnoty textilie nebo k výrobě smetků, což má
za následek pokles produktivity práce. Proto je třeba sní-
žit změny napjatosti příze na přijatelnou míru. K udělení
potřebného napětí a k odstranění uvedených nedostatků slou-
ží brzdíčky příze.

V současnosti se problémem rovnoměrnosti tahových sil
v přízi nabývá mnoho výzkumných pracovníků, kteří hledají
optimální řešení a hlediska :

- nezávislosti na změně rychlosti snování, průměru a po-
lohy předlehy, s možností centrálního nastavení
- univerzálnosti (pro různé druhy a jemnosti příze)
- spolehlivosti
- jednoduchosti konstrukce
- ekonomičnosti výrobních a provozních nákladů.

Stěžejním úkolem této diplomové práce je vyřešení samo-
činně a elektromechanicky regulované brzdíčky, která
splňuje výše uvedená hlediska.

2. OBECNÁ ČÁST

2.1. ROZLIŠENÍ STAVŮ BRZDĚNÍ BRZDIČEK A JEJICH KVALITATIVNÍ

V současné době jsou všechny základní způsoby brzdění přímé založeny na tření procházející přímé v mechanických elementech.

Mezi nejužívanější patří : brzdíčky třebenévé

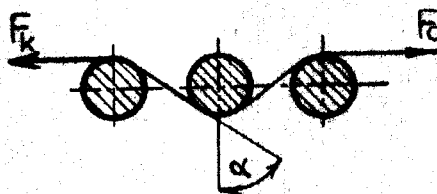
brzdíčky ketoučové (talířkové)

brzdíčky kombinované

brzdíčky planketové.

2.1.1. BRZDIČKY TŘEBENÉVÉ

Brzdíčky třebenévé jsou založeny na opádní procházející přímé kolem jednoho nebo více třecích čepů. Princip je na obr. 2.1.



Obr. 2.1. Třebenévé brzdíčka

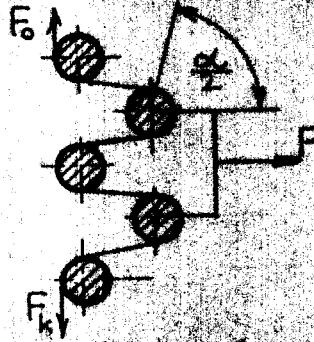
Její přednost spočívá v tom, že se jen minimálně zanáší nečistotami. I když se usazuje kolem brzdíčky textilní vata, nestrácí svůj brzdící účinek.

Velikost výstupní tahové síly F_k je dán Eulerovým vztahem:

$$F_k = F_0 \cdot e^{\alpha \cdot f \cdot (i+1)} \quad (2.1)$$

To se však jeví jako určitá nevýhoda neboť za předpokladu $\alpha = \text{konst.}$, $f = \text{konst.}$ je vstupní síla F_0 násobena určitou konstantou. Regulace této brzdíčky je založena na změně úhlu

Na změnu úhlu opásání α během provozního procesu je založeno -
na brzdě hřebenové - kompenzační obr. 2.2 .



Obr. 2.2. Brzdě hřebenové - kompenzační

Její výhodou spočívá v tom, že udržuje kolísání výstupní síly. Změna úhlu opásání α se mění v závislosti na vstupní síle v přísl. F_0 a velké kolísání vstupní tahové síly může mít za následek rozbití brzdě a proto je třeba na ni použít tlumič.

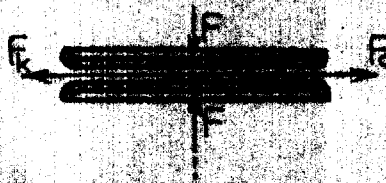
Nevýhoda hřebenové brzdě kompenzační je v tom, že se její účinek se změnou opásání α exponenciálně zvyšuje a proto při malé změně vstupní tahové síly v přísl. způsobí velkou změnu výstupní tahové síly. Tato velikost je dána vztahem (2.2) .

$$F_x = F_0 \cdot e^{2 \cdot n \cdot f} \quad (2.2)$$

Další nevýhodou těchto principů brzdě je možnost vzniku statického nebo je tření přise a šep se syntetického materiálu.

2.1.2. BRZDĚ TALÍŘKOVÉ

Brzdě talířkové patří mezi nejuniverzálnější sviděti v procesu zastavení. Činnost brzdě je patrna z obr. 2.3 .



Obr. 2,3 Talířková brzdě

Především je třeba je svírdat mezi sebou. Každý sítě P. Užívá se několik podob telefonních bradiček. Někdy jsou velmi stejné oba telefonky, jindy je zneseno stáčením s telefonky nebo je také místo druhé telefonky použito speciálního bradičkového páso.

Bradičky telefonové jsou však z teoretického hlediska výhodnější než bradičky předchozí, protože vstupní telefonní síla se bradičkou není násobena určitou konstantou ale je k ní pouze určitá konstanta připočítána (viz. vztah 2.3), což ztěžuje namířování telefonní síly v příslušné bradičce. Výstupní telefonní síla se vypočte se vztahem :

$$P_x = P_0 + 2 \cdot D \cdot P \quad (2.3)$$

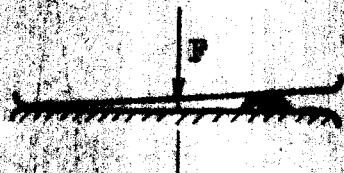
Nastavení telefonové bradičky se provádí pomocí příslušné síly P.

Kombinované bradičky jsou vlastně kombinací obou předchozích typů.

3.1. PŘÍČINY MENŠI TAHOVÝCH SIL PŘI SEUKÁNÍ NEBO SROVÁNÍ.

Mezi nejzávažnější příčinu menší tahových sil při seukání nebo srovnání, které je důvodem nejistoty a navíc je jí možné jen těžko kontrolovat, patří postupně a pomačkané nanášení brzdíčky na různých třecích místech. Vysvětlení tohoto krajně nepříjemného jevu je prosté. Čísí příměsí umáčené pohybující se nití, jako velmi vlákná, oleje, částečky barviv nebo aviváží a pod. se ukládají v místech tření nebo v jejich blízkosti. Vytvářejí se tak na jistých okolnostech velmi tvrdé nánesy, které ovlivňují koeficient tření příslušných třecích ploch. To má za následek větší či menší snížení tahových sil v nití. Tento jev se, jak těžko kontrolovat a málo nabývá různých hodnot v závislosti na pracovních místech na stroji. Tento nedostatek je nejzávažnější u taliževých brzdíček, které jsou s křídlatou vřetovinou tahových sil velmi vhodné.

Na vstupu nitě se vytvoří vrstva nánesu a za krátký čas spočívá pohyblivý brzdící prvek (taližek) na tomto nánesu a ne na pevném brzdícím prvku viz obr. 3.1. Tím je vyloučen tlakový účinek na nit.



Obr. 3.1. Zanášení taliževé brzdíčky nečistotami

Ze vada v podstatě má snížení tvrdosti nábíhu získané křížové cívy, což podstatně snižuje kvalitu křížových cívek, až tak daleko, že mohou být v dalším průběhu nepracovatelné.

Při snování to vede k návrhům jež se mohou projevit třeba až na finálních výrobku.

Aby se šelilo touto nedostatkem, našlo se takové konstrukční řešení talířkových brzdíček, u něhož jedno třecí těleso rotuje a plocha talířku se při tomto otáčení šláká. Tím se odstraní nedostatky, které byly uvedeny.

3.2. PRINCIPY UDĚLENÍ ROTACE TALÍŘKOVÝM BRZDIČKÁM.

Doposud se užívají dvě základní metody udělování rotace talířkům.

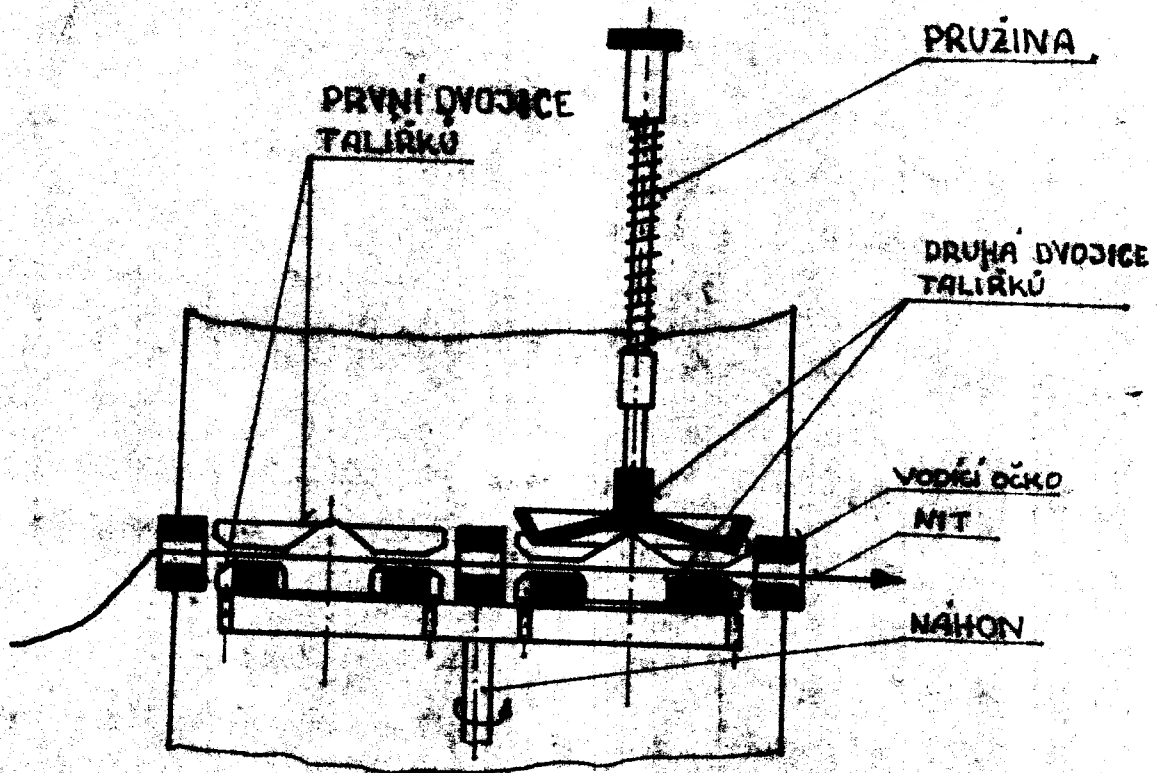
První metoda, která je patentem firmy BEMMIGER, je založená na nuceném otáčení jednoho nebo dvou spodních talířků. Toto řešení je uvedeno na obr. 3.2 a obr. 3.3.

Končí v uvedených brzdíčkách je v konstrukci a z té vyplývají také použití pro různé jemnosti přímě. Brzdíčka GEB je pro jemnější až střední přímě a brzdíčka UB je pro střední až hrubé materiály.

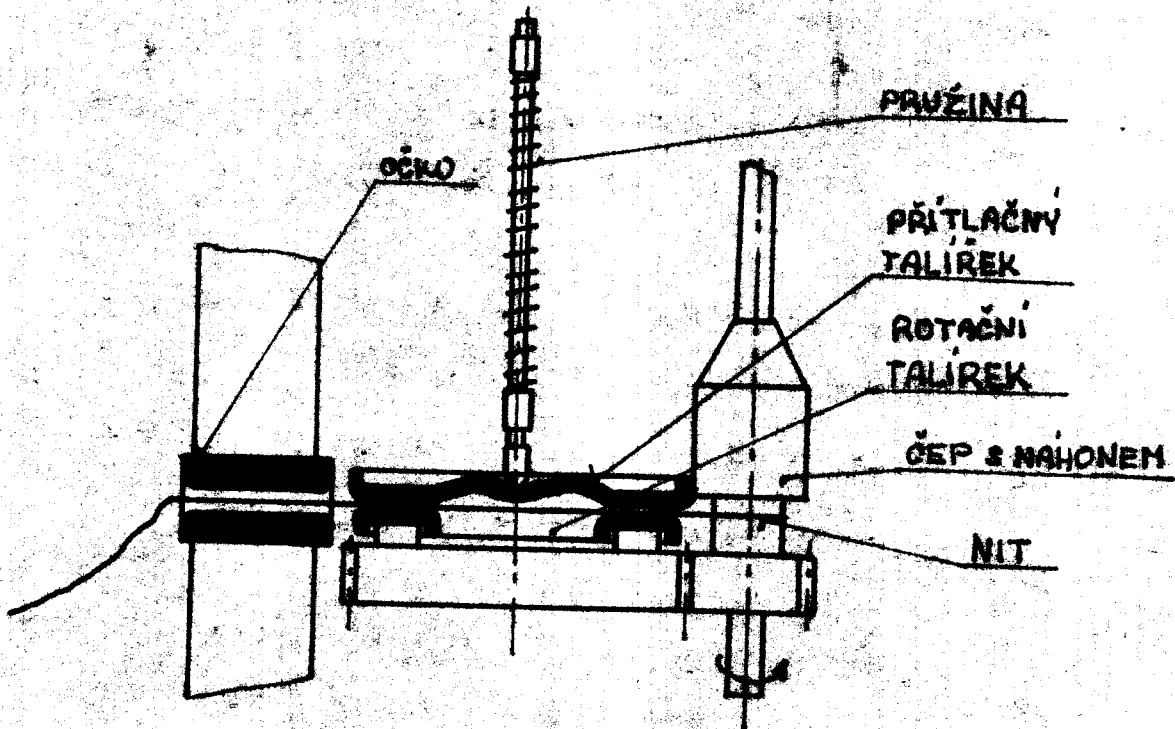
Brzdíčka GEB obr. 3.2 má dvě dvojice talířků. První dvojice působí jako tlumič a spolek s druhým, který má vřechní talířek přitlačovaný pružinou, zabezpečují klidný chod. Druhá dvojice talířky jsou na elastických podložkách a mají rotační náhon.

Brzdíčka typu UB obr. 3.3 má jen jednu dvojici talířků. Vřechní talířek působí přitlačovací silou na nit od pružiny. Spodní talířek je na elastické podložce s rotačním náhonem.

Druhá metoda spočívá v tom, že sama procházející nit uděluje talířku rotační pohyb. Tento princip, až doposud nepřinesl stoprocentní výsledky, je pro svou jednoduchost stále středem pozornosti. Právě řešením této problematiky se zabývá tato diplomová práce.



Obr. 3.2 Brzdíčka typu GZB



Obr. 3.3 Brzdíčka typu MB

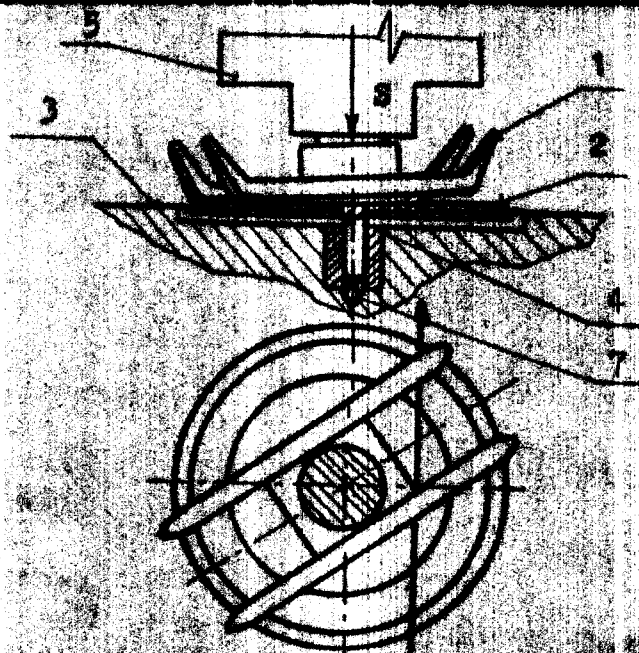
4. REKONSTRUČNÍ PRÁCE NOVÉ BRZDIČKY.

Tato práce navrhuje na diplomovém práci Dušana Mlynára, VŠB Liberec 1986, která řeší elektrickou cestou odstranění výkyvů napjatosti práce vznikající z různých příčin v procesu mechanické nebo elektrické.

4.1. PRINCIP NOVÉ SAMOČISTÍCÍ BRZDIČKY PŘÍSE.

Princíp této samočistící brzdíčky, která odstraňuje v předložené části uvedené nedostatky, spočívá v tom, že v čepu uložený brzdící talířek je poháněn procházející příseí. Příse je k talířku přitlačována jedno nebo dvoupálcovým křebínkem. Pro dosažení lepšího mechanického momentu je talířek opatřen mezikračím jehož vnitřní část je mechanicky udržována a vnější část je hladká. Křebínek nesvídá s procházející příseí 90°, ale úhel mohou menší, tím je zabezpečena lepší odvod nečistot z povrchu talířku.

4.2. PRINCIP SAMOČISTÍCÍ BRZDIČKY S HYDRAULICKÝM MĚŘÍTKEM.

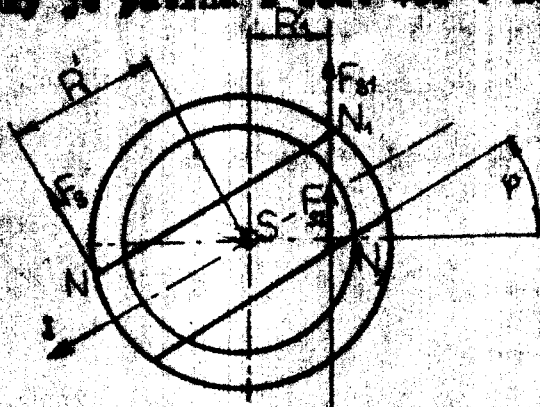


Obr. 4.1. Samočistící brzdíčka s křebínkem.

Brzdíčka vyzobrazení na obr. 4.1 se skládá z kerundového křebinku z dvůna palei 1, který je přes pryžové podložky a kulový vykyvný šep přípevněn v držáku. Tento držák je namontován na elektromechanický měnič, který podle velikosti vřtupání síly v příslí vyvesuje sílu S. Brzdíčka se dále skládá z ocelového talířku 2, s mechanickou úpravou povrchu a tepelným zpracováním proti otěru. Talířek je rotačně uložen v ložisku, které se skládá z teflonového pouzdra 4 a ocelové kuličky 7. Toto ložisko je namontováno v duralovém držáku 3.

4.3. DIMENZE SAMOČINNÉ BRZDIČKY.

Pushce brzdíčky je patrna z obr. 4.2. Rotace talířku

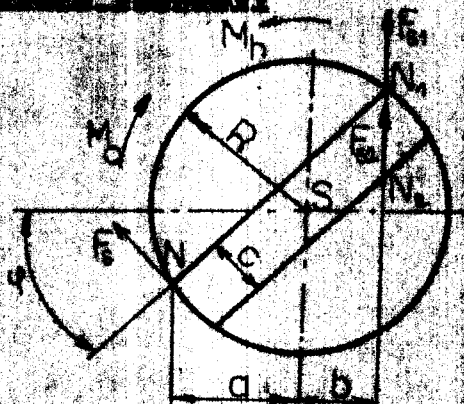


Obr. 4.2 Principiální schéma brzdíčky

je určována výkonem momentu vznikajícím na rameni R třecí sílou $F_{s1} = N_1 \cdot f_1$ a momentem vznikajícím na rameni R_1 , kde působí třecí síla $F_{s2} = N_2 \cdot f_2$. Tento kvasí moment je však zmenšen o pasivní moment vzniklý třením šepu v ložisku a o moment na rameni R, kde působí třecí síla $F_s = N \cdot f$. Vhodnou velkou koeficientu tření f, f_1, f_2 a vhodnou vzdáleností průchodu přise od středu talířku lze zabezpečit stábní talířku. Stábní talířku sajiřuje správnou činnost brzdíčky vřtupání a obředu na její samočinné neboť při ro-

tačí talířku, při níž nastavením křehnutí, dochází k odstraňování nečistot z prostoru jehlek vaničky. Nečistoty se z tohoto prostoru odvádějí ve směru šipky T dle obr. 4.2 samospádem nebo útlakem.

4.4. PODMÍNKY ROTACE TALÍŘKY.



Obr. 4.3 Schéma kvařičky

Aby bylo čišťení talířku co nejdůkladjší, je zde snaha o co největší hmotí moment M_H . Hmotí moment musí být minimálně o něco větší než odporový moment M_0 , který vzniká třením v uložení talířku. Pro zjednodušení výpočtu tento odporový moment M_0 zanedbáváme. Buďe - li dodržena podmínka, že síla S prochází středem talířku, čímž je zajištěno, že nebude docházet ke vyříznutí šepu v ložisku, je tento předpoklad opodstatněný.

Pro hmotí moment M_H potom platí vztah

$$M_H = (F_{s1} + F_{s2}) \cdot b - F \cdot f + (4.1)$$

kte

$$F_{s1} = N_1 \cdot f_1$$

$$F_{s2} = N_2 \cdot f_2$$

$$F = N \cdot f$$

Nominální reakce N_1, N_2, N vypočítáme z rovnoběžky sil a momentových výrazek k vhodné volenému osám. Postupujeme rovnice (4.2).

$$H \cdot (a+b) - b \cdot S = 0 \quad (4.2)$$

$$H_2 c - D - \frac{S}{2} = 0$$

$$H + H_1 + H_2 - S = 0$$

kde

$$a = R \cdot \cos\left(-\arcsin\frac{f}{R}\right) \quad (4.3)$$

$$b = R \cdot \cos\left(+\arcsin\frac{f}{R}\right)$$

Dosažením vztahů (3.3) do (3.2) lze vyjádřit velikosti jednotlivých reakcí v závislosti na úhlu nastavení hřebínku ve tvaru:

$$H_1 = S \cdot \frac{f}{2R} \cdot \frac{1}{\cos\left(\arcsin\frac{f}{R}\right)} \quad (4.4)$$

$$H_2 = \frac{S}{2}$$

$$H = S \cdot \frac{\cos\varphi \cdot \cos\left(\arcsin\frac{f}{R}\right) - \frac{f}{2R} \cdot \sin\varphi}{2 \cdot \cos\varphi \cdot \cos\left(\arcsin\frac{f}{R}\right)}$$

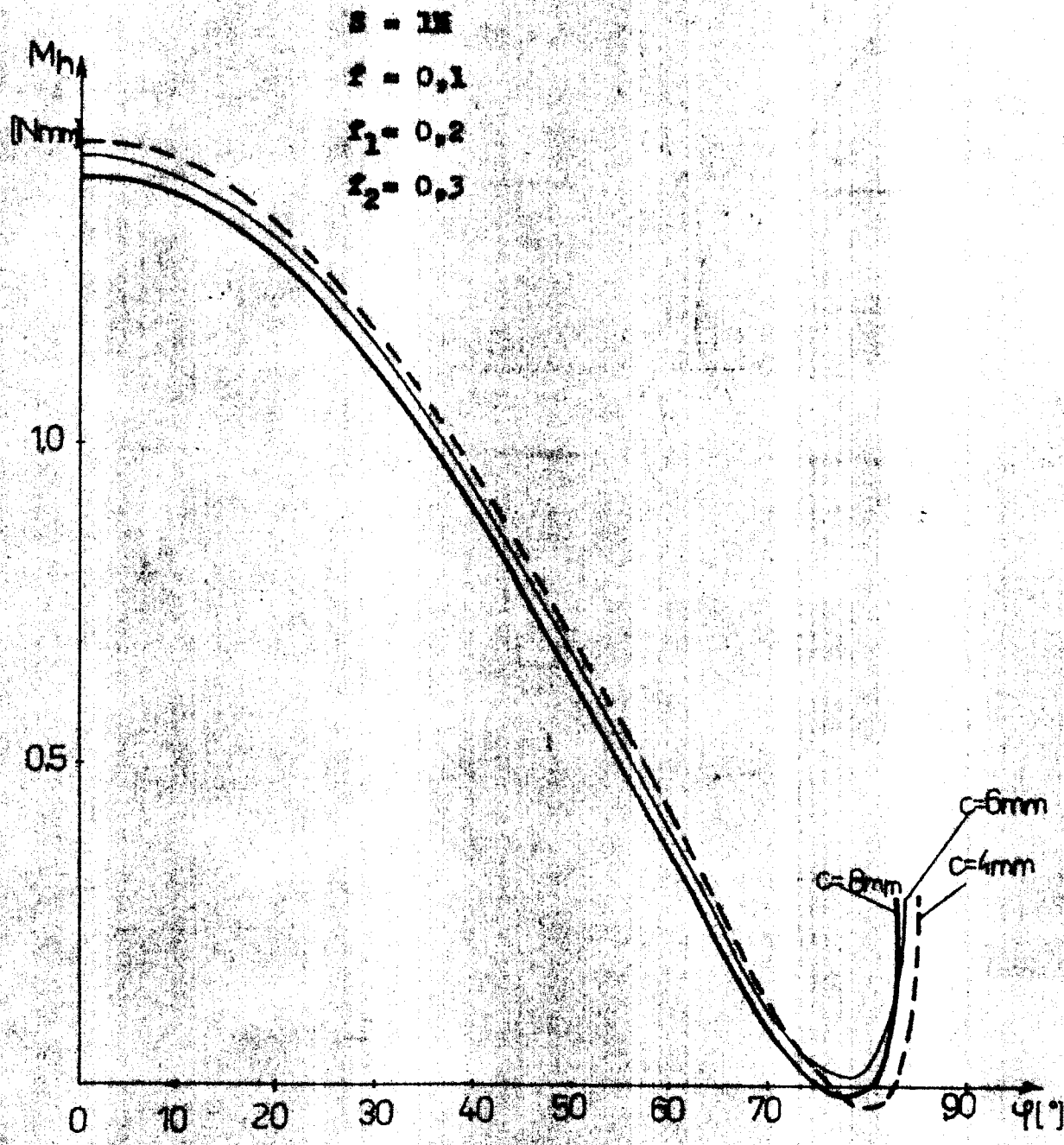
Použitím vztahů (3.4) v rovnici (3.1) dostaneme výraz pro hnací moment působící na talířek v závislosti na úhlu nastavení hřebínku:

$$M_H = S \cdot \frac{f \cdot c \cdot \tan\varphi}{4} \cdot \frac{\cos\varphi \cdot \cos\left(\arcsin\frac{f}{R}\right) - \frac{f}{2R} \cdot \sin\varphi}{\cos\left(\arcsin\frac{f}{R}\right)} + \frac{S \cdot f \cdot R}{2}$$

$$= \cos\varphi \cdot \cos\left(\arcsin\frac{f}{R}\right) - \frac{f}{2R} \cdot \sin\varphi = S \cdot R \cdot f \cdot \left[\frac{1}{2} - \dots\right]$$

$$\frac{S \cdot R \cdot f}{4 \cdot R \cdot \cos\left(\arcsin\frac{f}{R}\right)}$$

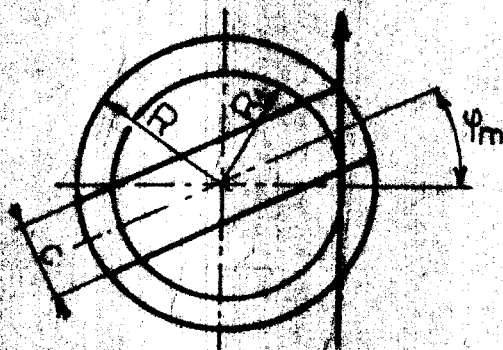
(4.5)



Obr. 1.4 Závislost hmotného momentu na úhlu nastavení

Na obr.4.4 je grafické vyjádření této závislosti s proměnným úhlem nastavení φ a různou vzdáleností paleč c , pro volené koeficienty tření f , f_1 , f_2 . Z uvedených funkcí vyplývá, že největší hodnota hmotného momentu M_2 leží v okolí, kdy je úhel nastavení hřebínku φ blízký nebo roven 0° . Hřebínek s menší vzdáleností paleč se podle grafu jeví jako výhodnější. Ve skutečnosti ovšem tomu tak není. Musí se zde počítat s tzv. menším úhlem φ_m .

4.4.1. URČENÍ MENŠÍHO ÚHLU.



Obr.4.5 Nastavení hřebínku na φ_m

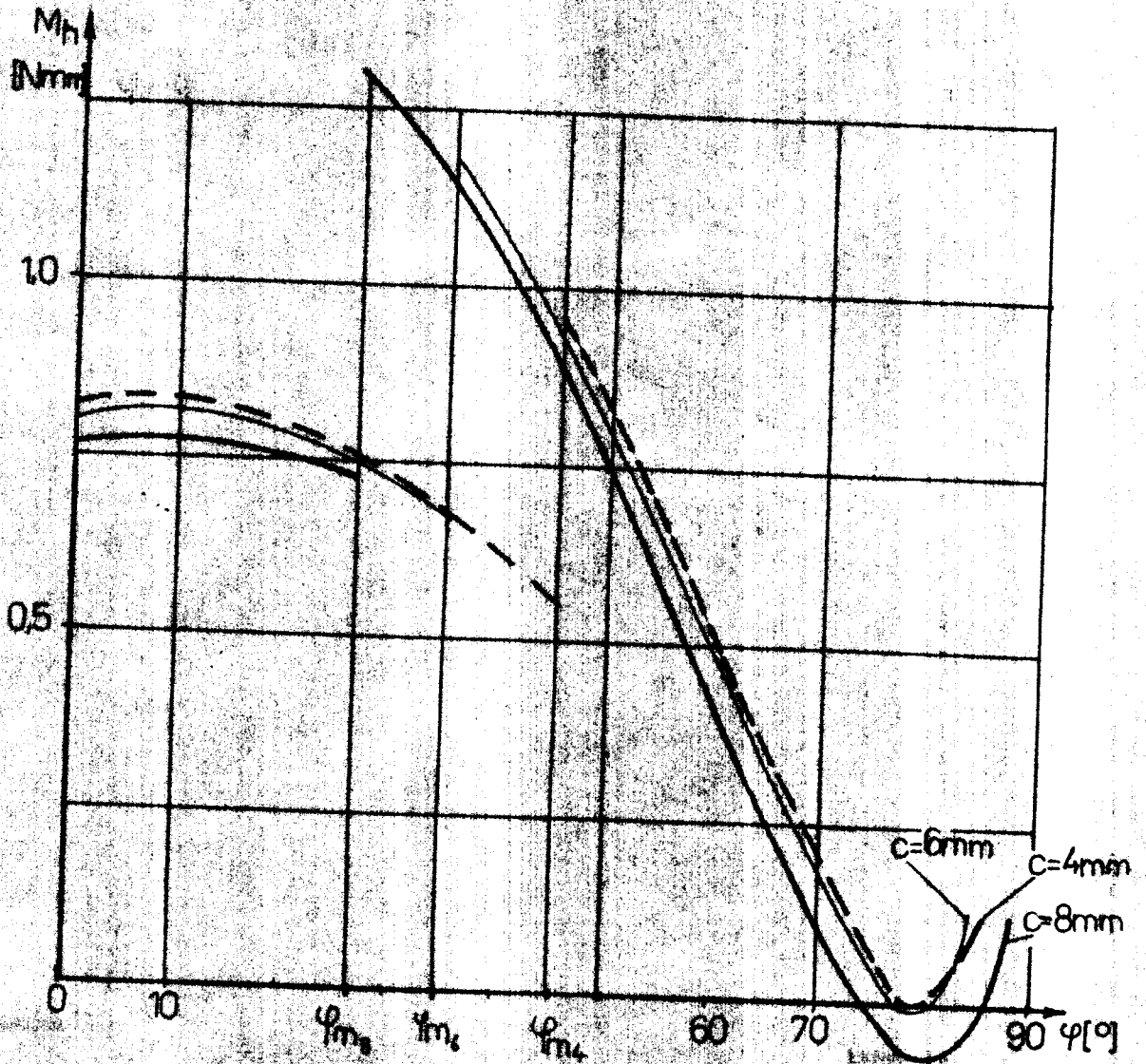
Z obr.4.5 je patrné, že menší úhel φ_m je takový úhel nastavení hřebínku, kdy jeden z paleč načas již přitlačovat přechází k odvrácenému momentu talířku. Menší úhel φ_m je geometrických závislostí vyjádří vztahem :

$$\varphi_m = \arccos \frac{R_0 \cos \alpha + \frac{c}{2} - R_0 \cos \alpha - \frac{c}{2}}{c} \quad (4.7)$$

4.4.2. URČENÍ ÚHLU φ_m V PŘÍKLADU NA Č. 2.

Na obr.4.6 je znázorněn průběh hmotného momentu M_2 v závislosti na úhlu nastavení hřebínku pro volené koeficienty f , f_1 , f_2 . Závislosti uvedené v tomto grafu jsou pro tři různé vzdálenosti paleč hřebínku a to :

$S = 1N$
 $f = 0,08$
 $f_1 = 0,2$
 $f_2 = 0,3$



Obr. 5.6 Závaznost mechieho momentu na číslu kontaktu

4mm, 6mm a 8mm.

Uvedenou závislost lze rozdělit do tří částí.

První část je v rozsahu kdy úhel φ nabývá hodnot 0 až φ_m . V této části oba palec hřebínku přitlačují přízi k hladké části talířku. Pro tuto oblast platí, že $f_2 = f_1$.

Druhá část (pracovní) je v rozsahu kdy úhel nastavení hřebínku $\varphi = \varphi_m$ až po úhel kdy M_n přechází v záporné hodnoty nebo se prudce lomí.

Třetí část je od konce pracovní až po 90° .

Pomocí obr. 4.6 a přílohy PR - 1, v níž je program který grafickou formou řeší některé varianty uvedené závislosti, lze vyšetřit určité zákonitosti.

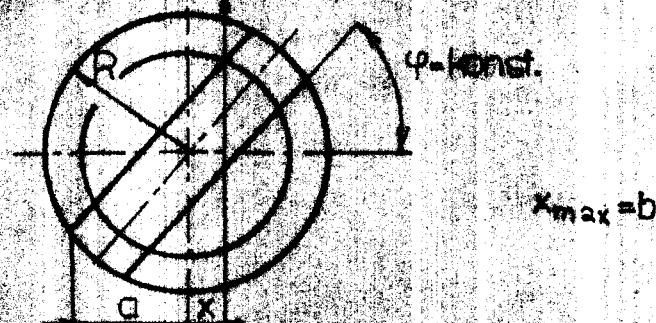
Moment M_n je největší v místě kdy $\varphi = \varphi_m$. S ohledem na vztah (4.7) do pracovní části přechází dříve hřebínek s větší vzdáleností palec. Celková výška průběhu je tím větší, čím je větší rozdíl koeficientů f_1 a f_2 od koeficientu f . Délka pracovní části je též dána tímto rozdílem. Pro malý rozdíl koeficientů f_1 a f_2 od koeficientu f končí pracovní část již při úhlu nastavení hřebínku okolo 60° . Je-li ovšem tento rozdíl větší, končí pracovní část okolo $75^\circ - 80^\circ$.

Z těchto poznatků a poznatků které vyplývají z praktické části lze vyvodit některé zásady pro optimální návrh samočinné brzdící tyče zásady jsou shrnuty v závěru.

4.4.3. VLIV VZDÁLENOSTI PRŮCHODU PŘÍZY OD BEŽNÉHO TALÍŘKU.

V praktickém využití je jen velmi obtížné a technicky náročné zabezpečit aby příze přecházela tak, že je jedním z palec přitlačena k samému kraji hladké části talířku.

Je proto výhodnější zajistit průchod přívě bliže středu talířku i když tím dojde k ústřednějšímu rozložení hmotné momentu.



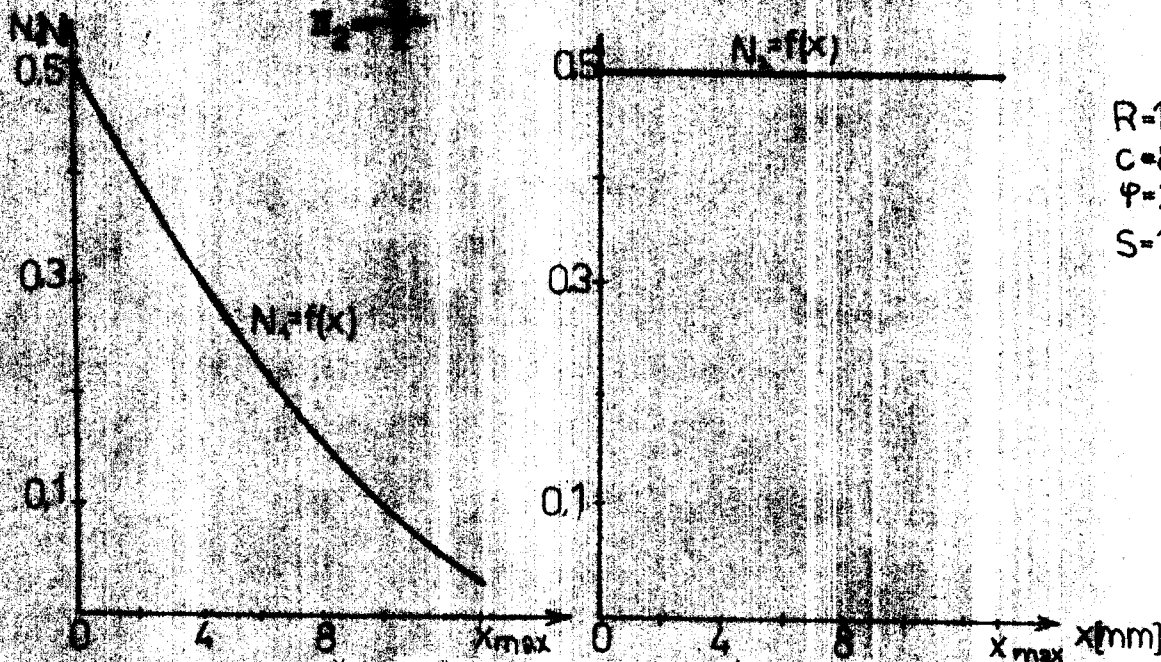
Obr. 4.7 - Schéma bradičky s proměnnou vzdáleností x .

Dvažujeme-li ve vztazích (4.3) konstantní úhel nastavení břebínku dostaneme dvě konstanty a, b . Dosazením do vztahů (4.2) a vyjádřením jednotlivých reakcí s proměnnou $x = (a, b)$ dostaneme závislosti těchto reakcí na vzdálenosti průchodu přívě od středu talířku.

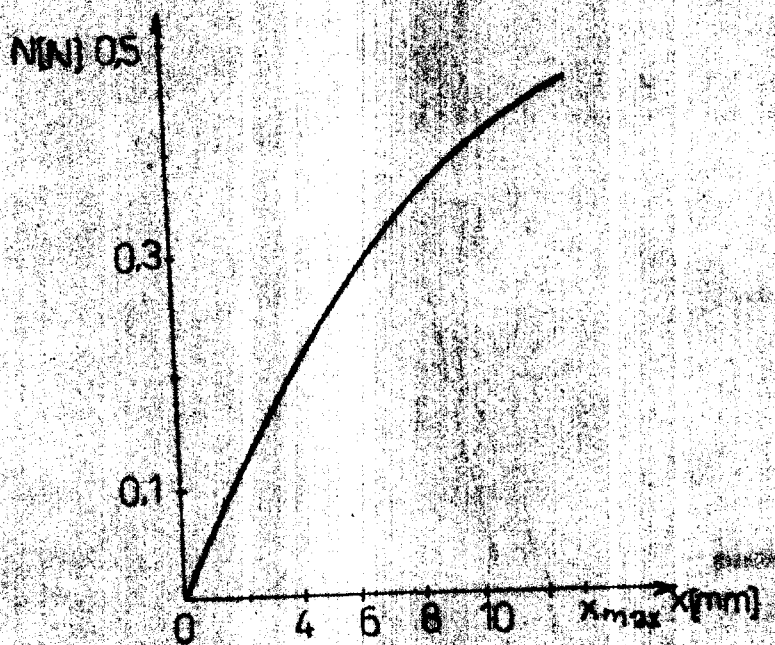
Platí vztahy : $x = \frac{R \sin \varphi}{\cos \varphi}$ (4.7)

$$N_1 = S \frac{R \sin \varphi}{2(x \cos \varphi)}$$

$$N_2 = \frac{S}{2}$$



Obr. 4.8 Závislost reakcí N_1 a N_2 na vzdálenosti x



Obr. 4.7 Závislost reakce N na vzdálenosti přičes od středů talířku x .

Dosažením rovnice (4.7) do rovnice (3.2) dostaneme vztah vyjadřující závislost momentu M_x na vzdálenosti průřezu přičes od středů talířku ve tvaru:

$$M_x = s \left[\frac{(a-x)z \cdot z}{2(a+x)} + \frac{z \cdot f_0}{2} - \frac{N \cdot f_0}{(a+x)} \right]$$

po úpravě

$$M_x = s \cdot x \cdot \frac{(a-x)z \cdot z + (a+x) \cdot f_0 \cdot z - 2 \cdot f_0 \cdot N}{2 \cdot (a+x)} \quad (4.8)$$

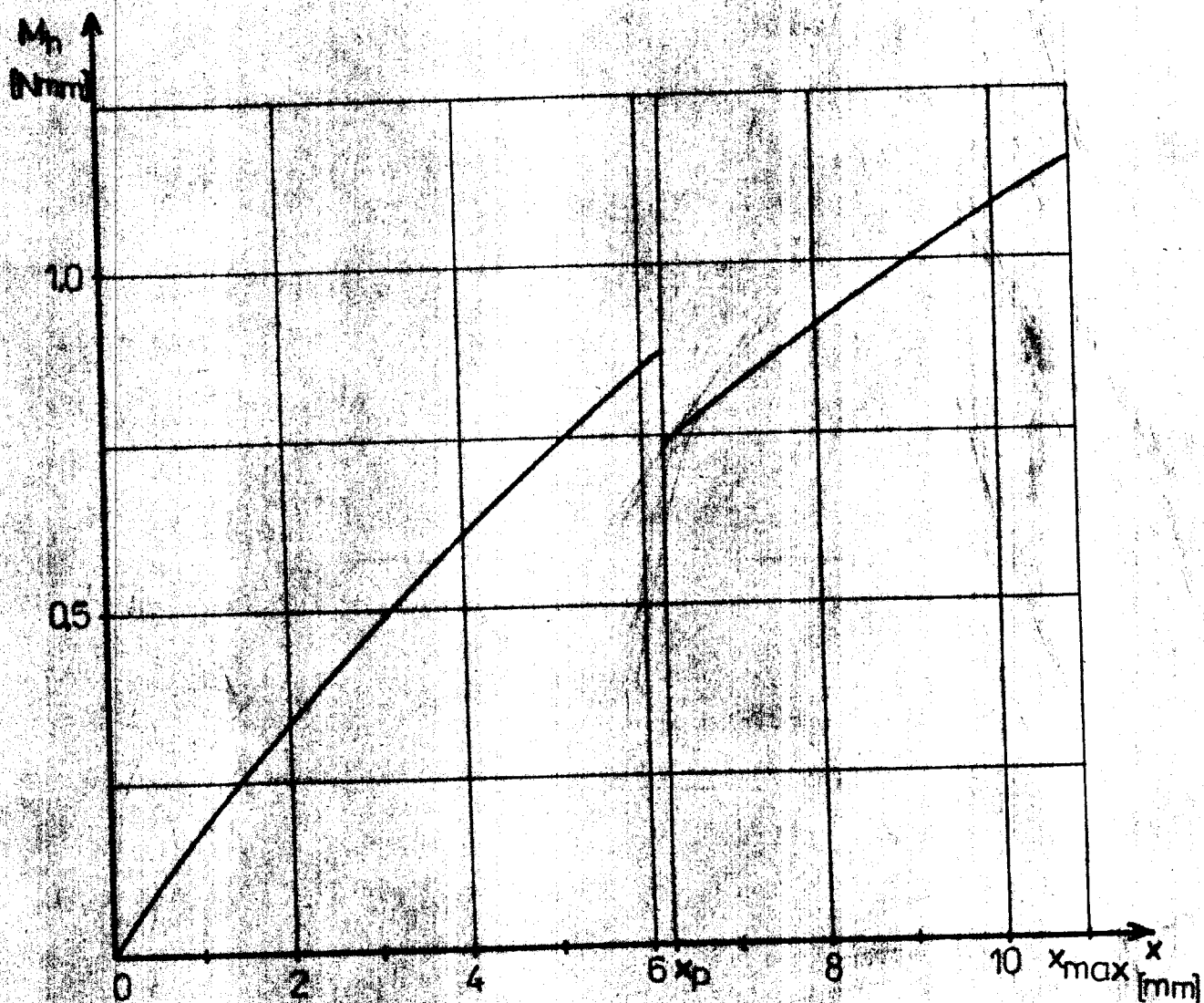
Shrneme-li použít uvedenou závislost momentu vyřadit vzdálenost x_p (vzdálenost průřezu). Jak je patrné v obr. 4.10 x_p je taková vzdálenost průřezu přičes od středů kotoučku, kdy má již daný poler příslušný přičes k dané části talířku.

Z geometrických závislostí dostaneme vztah pro x_p

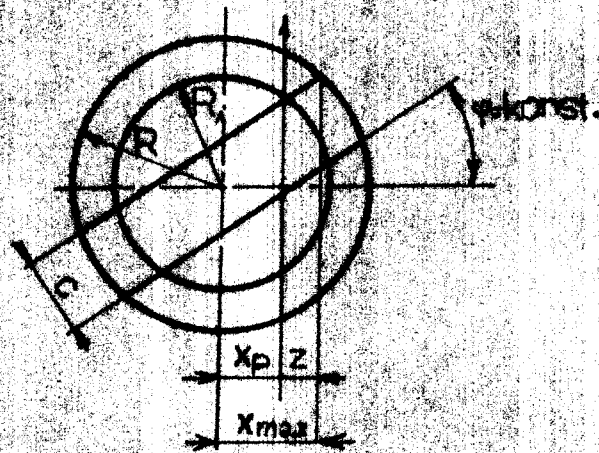
$$x_p = x_{max} - R \cdot \cos(\varphi + \arcsin \frac{c}{2R}) - \cos \varphi \cdot \sqrt{R^2 - \frac{c^2}{4}} - \sqrt{R^2 - \frac{c^2}{4}} \quad (4.9)$$

$\varphi = 27,99^\circ$
 $S = 1H$
 $R = 15 \text{ mm}$
 $e = 8 \text{ mm}$

$f_1 = 0,2$
 $f_2 = 0,3$
 $f = 0,1$



Obz. 4.11 Zvislost lineárneho momentu na vzdialenosti príspehu
prieč súčtu talíže



obr. 4.10 Vydělení x_p

Na obrázku 4.11 je uvedena závislost N_2 na vzdálenosti průřezu x od středů talířku pro různé hodnoty koeficientů f_1 , f_2 , f . Z této závislosti je vidět, že ve vzdálenosti x_p dochází ke skoku. Největší hodnoty N_2 je tedy, když $x = b$.

5. PRÁCTICKÉ VÝSLEDKÉ FUNKČNOSTI SAMOSTATNÍ BRADIČKY.

Aby bylo možno vyhodnotit navrženou bradičku z hlediska správné funkce, bylo třeba provést některá praktická měření. Měření bylo prováděna v laboratorích KTB na soukromé jednotce. Bylo nutno vyhotovit sadu skušebních talířků a měřicí přípravek, který je uveden v příloze KTB - 099.8 vzhledem byl použit keramický hřebínek vzor Schlafherst 1 s jeho přípevnováním nařazením. Takto hřebínek bylo již využito k praktickému ocvičování elektromechanické regulace uvedené bradičky.

Elektrické schéma uspořádání měření je na obr. 5.1. Na něm jsou uvedeny tyto základní prvky a přístroje :

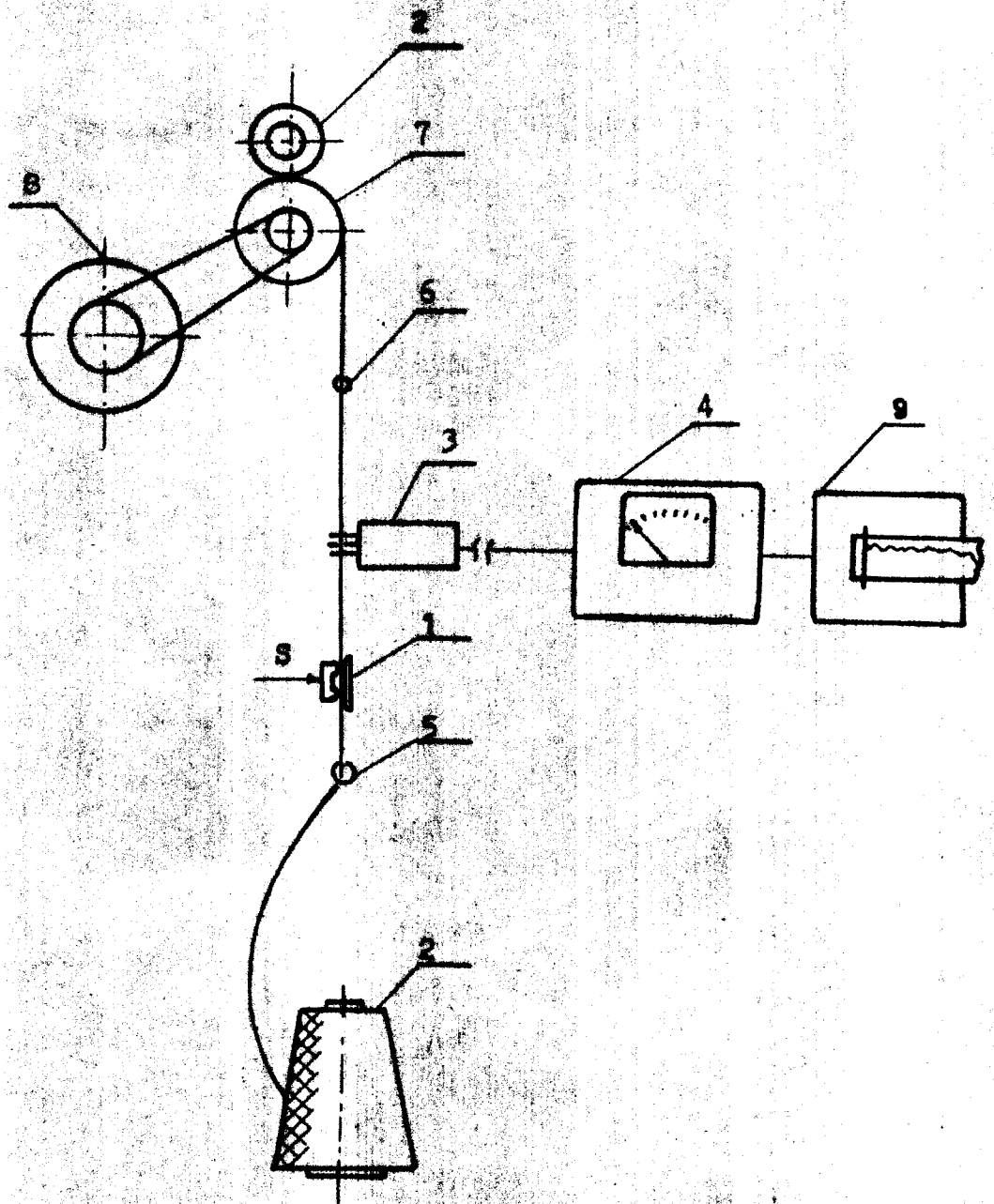
- 1..... měřicí přípravek
- 2..... křídlová síťka
- 3..... sonda
- 4..... tenzometr Katschilá
- 5..... směrvač halčím
- 6..... vodič očka
- 7..... rozváděcí váleček
- 8..... elektromotor
- 9..... rychlozapisovač

Informace k elektronickým přístrojům :

Sonda - kapacitní sonda s keramickým vodičím kolíky. Jako pracovní rozsah je do 100 mV.

Tenzometr typu Katschilá - elektronický měřicí přístroj s možností vyhodnocení okamžité tahové síly v nití bez časové konstanty nebo s časovou konstantou 1s, po případě 4 s. Při měření byl nastaven rozsah 000 100 mV.

Rychlozapisovač Halco-scriptar - převádí úpis hrotem na



Obz. 5.1 Blokové schéma uspořádání při měření.

tepelně citlivý papír. Rychlost posuvu papíru je nastavitelná na 2,5 , 10 , 100 mm/s.

5.1. MĚŘENÍ KONTAKTNÍ TĚŽNÉ SILY VĚTÍ A TALÍŘEK.

Koeficienty tření se v textilním průmyslu nejčastěji stanovují experimentálně pomocí vztahu :

$$f = \frac{T}{N} \quad (5.1)$$

T - normální tahová síla v nitě

N - normální normální síla

Měření se nám tedy omezuje na měření tahových sil v nitě. Ty se nejčastěji měří pomocí tenzometru viz obr. 5.1. Ten měří tahové síly na elektrickou veličinu a dále na vhodné měřičky na stupnici.

Praktické měření bylo prováděno na měřičce přípravku připravené na součást jednotky APTOSUR. Rychlosti převíjení přístroje bylo možné měřit v rozsahu 750 a/min až 1 500 a/min.

Měření bylo uskutečněno na třech druzích mechanických typů povrchu talířek, 1. rýhovaná

2. jemně pískovaná

3. leštěná

a různých materiálů a různých tepelných zpracování,

1. ocel 12 C40 - tepelně nezpracovaná

2. ocel 12 C40 - nitřně

Postup měření a výsledek byl následující: Talířek byl viděn do měřičky přípravku a měřička proti otáčení. Přístroj byl nastaven na rychlost převíjení 1000 a/min. Síla se vyvolávala přes vhodné pomoci závaží. Měřička je ukotvena v příloze č. 5.1.

Při průchodu příze mezi hřebínkem a talířkem rychlostí v daném rozsahu 750m/min - 1 500m/min, byla naměřena hodnota tahové síly T_2 . Síla T_2 je způsobena součtem třecích sil vznikajících mezi talířkem a hřebínkem a odporových sil mezi které patří síly způsobené odvinem příze přes hlavu s křížové sívky, omotávačem balení, vodičnou sítky a částečně pro střední. Odporové síly byly zjištěny tak, že se příze nechala procházet bez přítlaku hřebínku, tím se získala hodnota T_1 . Odečtením $T_2 - T_1 = T$ byla zjištěna síla v niti způsobená třením nitě mezi talířkem a hřebínkem.

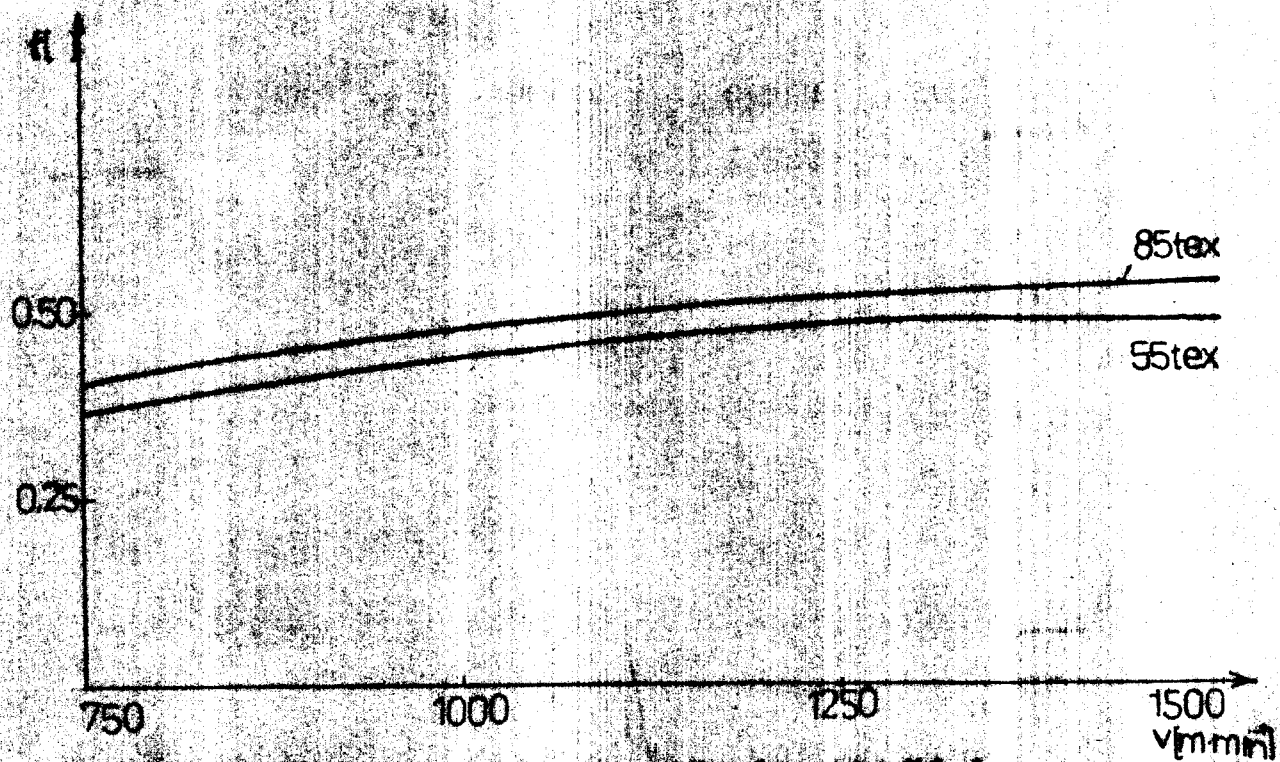
Ze vztahu (5.2) byl vypočten součtový koeficient tření

$$f_0 = \frac{T}{F} \quad (5.2)$$

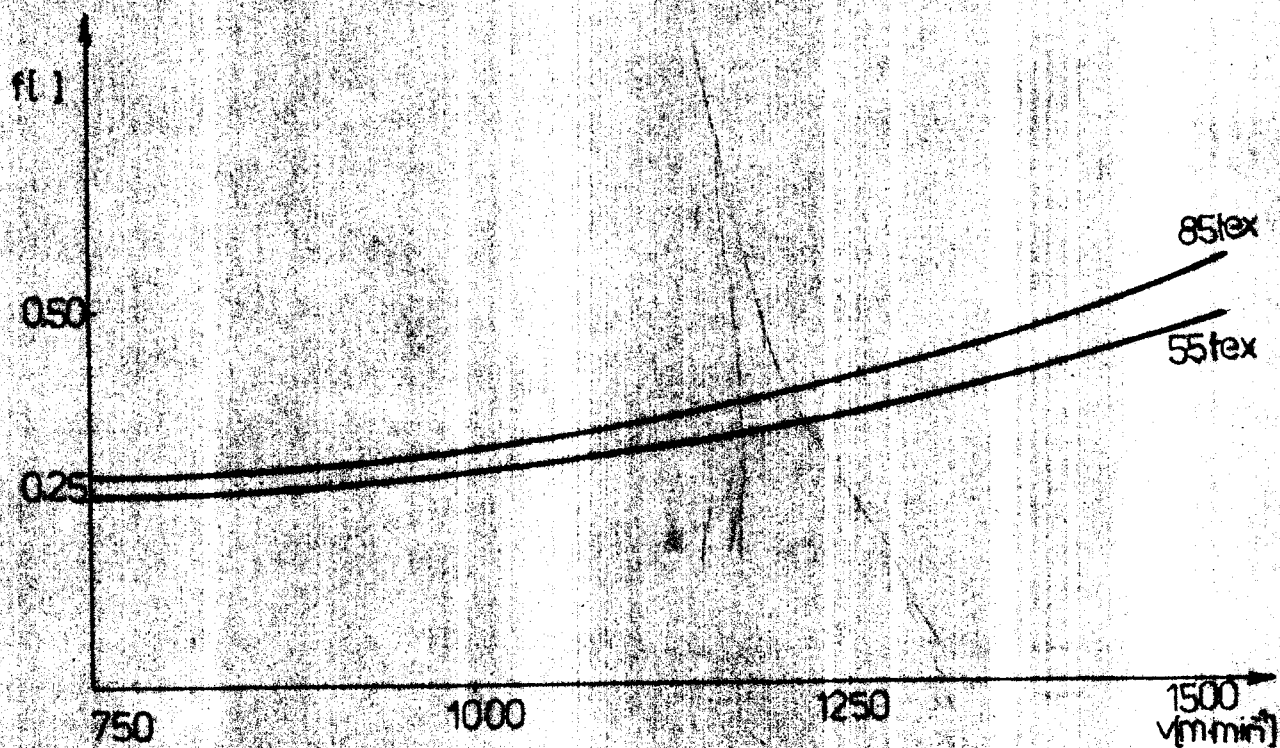
$$f_0 = f_{kp} + f_{hp} \quad (5.3)$$

Uvedený postup byl proveden pro všechny druhy talířků a pro pět rychlostí příze v rozsahu (750 - 1 500) m/min. Obdobně se postupovalo při zjišťování koeficientu tření mezi ložnicou plochou a přízí. Rozdíl byl však v tom, že k talířku s ložnicovým povrchem přidával přízí sílu $F = 0,395N$ talířek se stejným povrchem. Tím byl zjištěn koeficient $2f_{kp}$. Ze vztahu (5.3) se vypočetl koeficient f_{hp} . S těmito vztahy byl dále vypočítáván koeficient f_{kp} pro talířky různých mechanických povrchů a tepelných úprav. Závislosti změřených a vypočtených koeficientů na rychlosti jsou uvedeny na obr. 5.2 - 5.7.

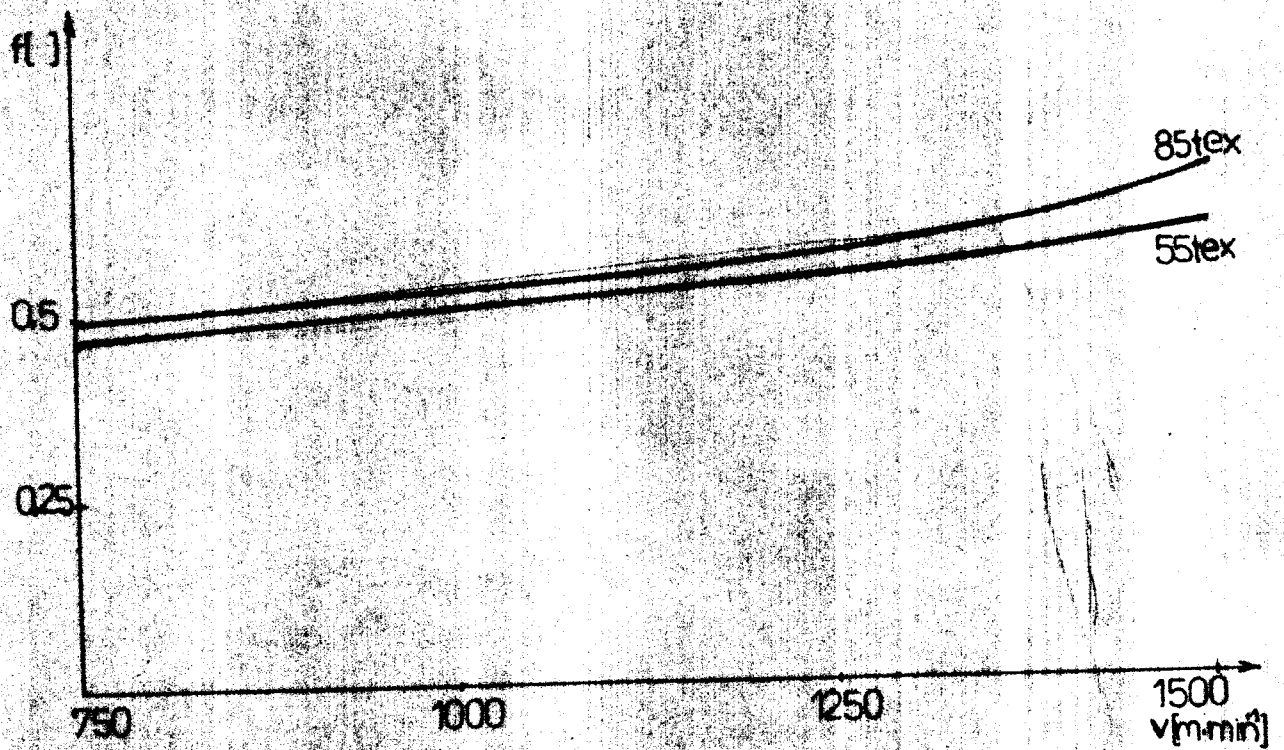
Při měření bylo použito barvického dopřídání bavlny 55 tex a 89 tex.



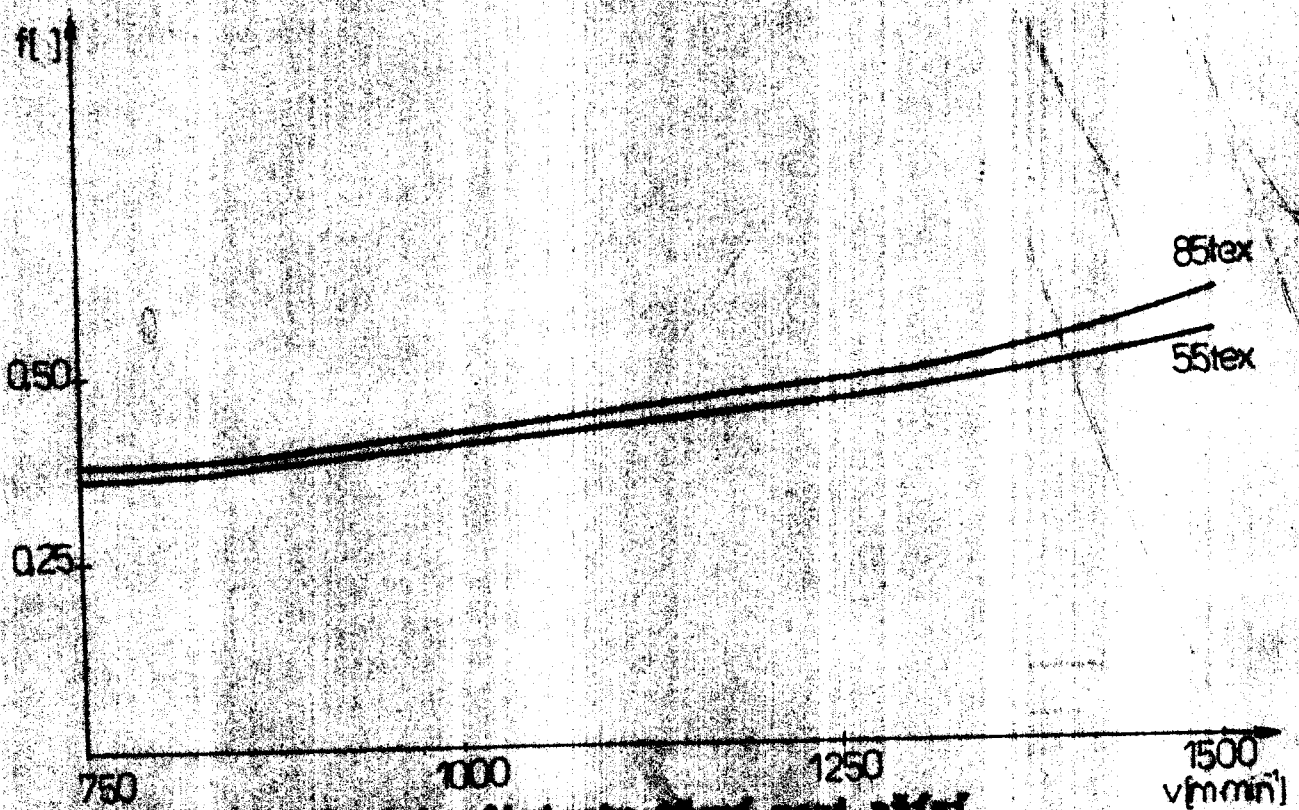
obr. 5.2 Závislost koeficientu tření mezi přízí a ložiskem v závislosti na rychlosti příze



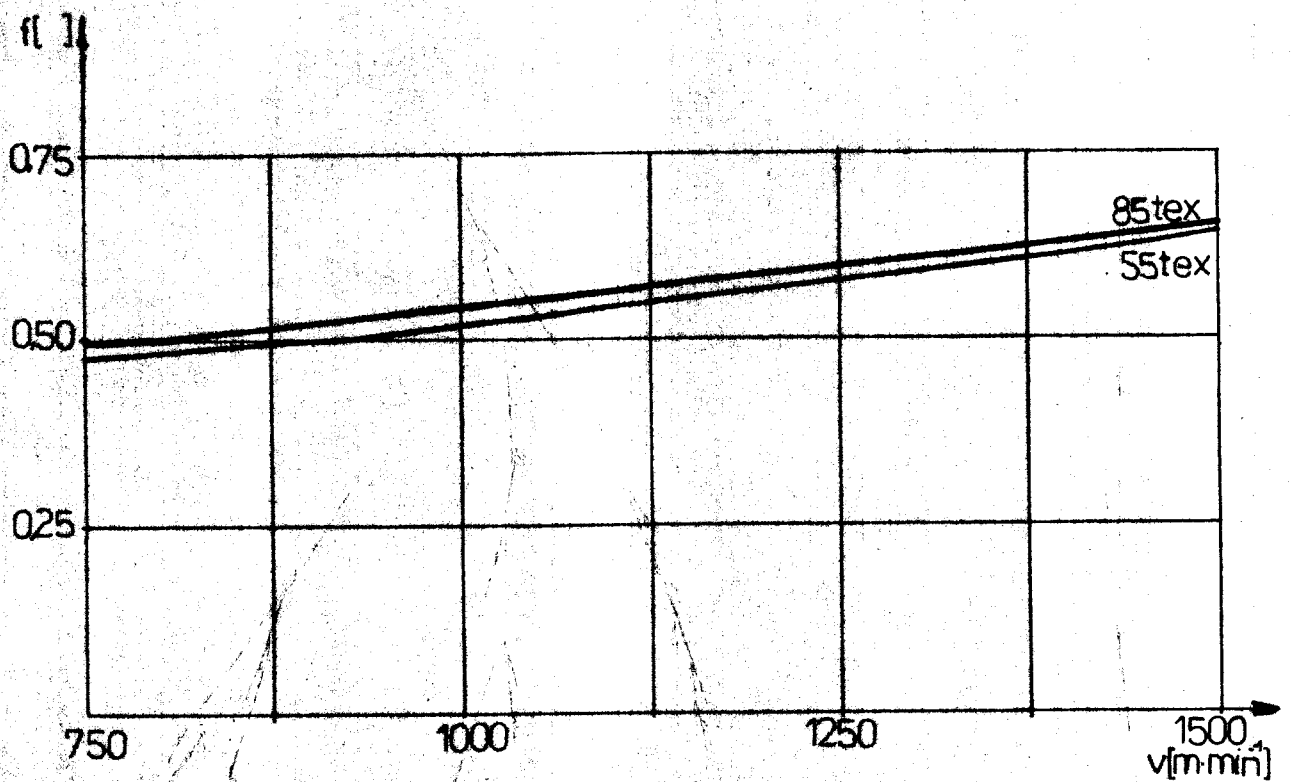
obr. 5.3 Závislost koeficientu tření mezi přízí a kardanovým mechanismem na rychlosti příze



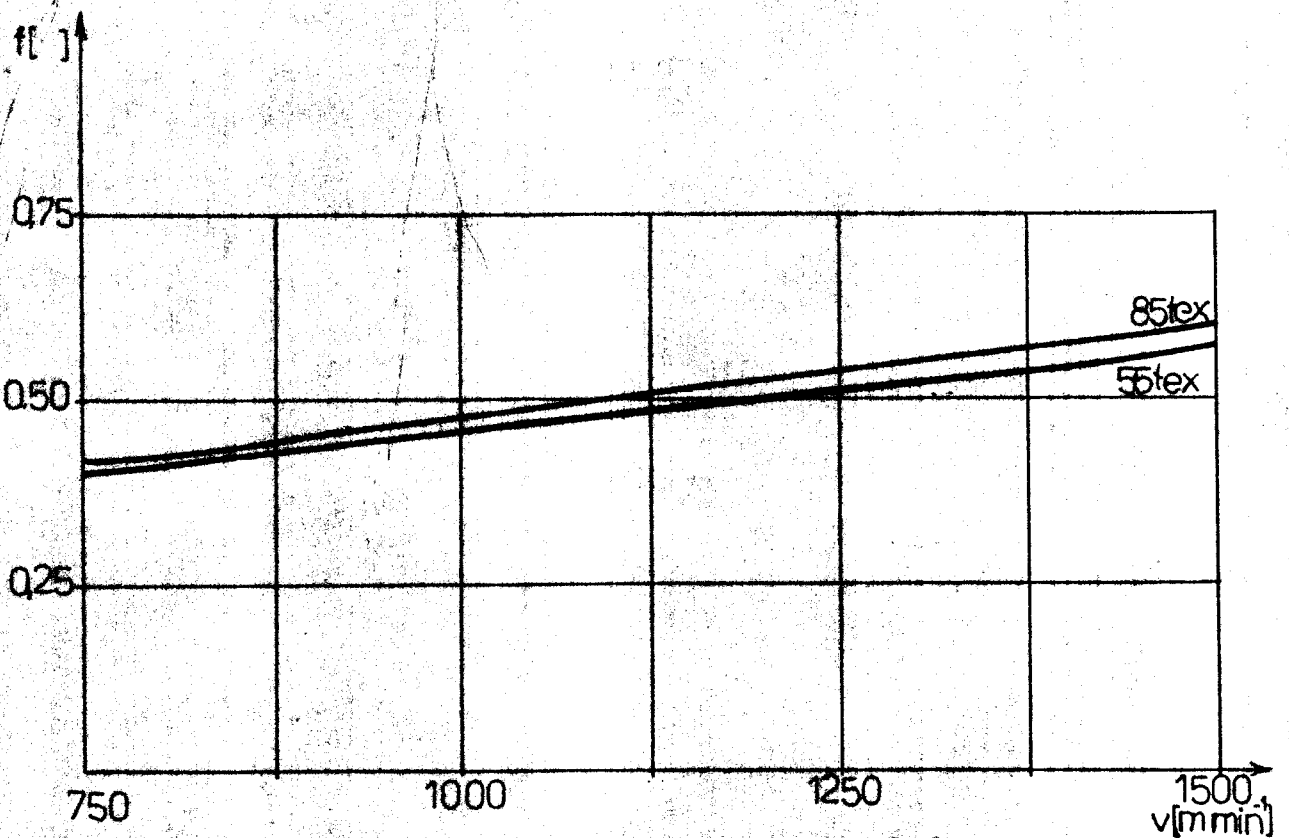
Obz. 3.4 Závislost koeficientu tření mezi přízí a pletacím talířem v závislosti na rychlosti příst.



Obz. 3.5 Závislost koeficientu tření mezi přízí a pletacím talířem v závislosti na rychlosti příst.



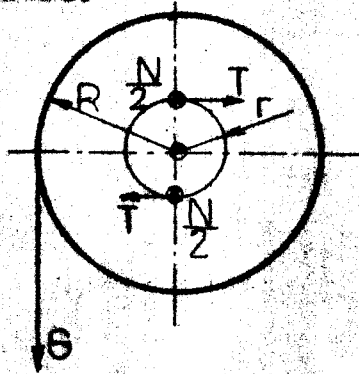
Obr. 5.6 Závislost koeficientu tření mezi přístřem a pískovaným talířkem tepelně zpracovaném na rychlosti přístře



Obr. 5.7 Závislost koeficientu tření mezi přístřem a rýhovaným talířkem tepelně zpracovaným na rychlosti přístře

5.2 MĚŘENÍ KOEFICIENTU TŘENÍ f MEZI KOUHLOVÝM HŘEBÍNKEM A LEŠTĚNĚ OCELOVÉ PLOCHOU.

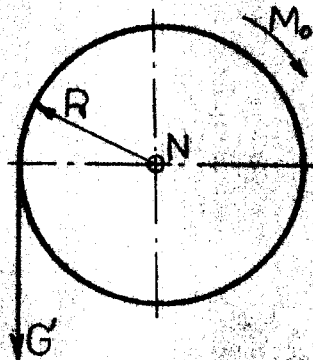
Na měřicím přípravku se hřebínek zatížil normální silou $N = 1N$. Kouhlový hřebínek byl vyhnut tak, aby se leštěná ocelová plocha talířku dotýkal pouze bodově a to symetricky kolem středního čepu viz obr. 5.1. Tím se odstranilo možné spříčení čepu v pouzdře.



Obr. 5.1 Princip měření

Na provázek ovinutý kolem upraveného talířku se zavěšovala různá závaží G do té doby, až se talířek pomalu rotočil a závaží začalo rovnoměrně klesat.

Odporový moment vzniklý třením čepu v pouzdře byl zjištěn obdobným způsobem, pouze místo hřebínku byl talířek zatížen normální silou $N = 1N$, působící na ostré jehle přesně do středu čepu. Viz obr. 5.2.



Obr. 5.2 Měření odporového momentu

Tím se zjistilo sčvaří G' . Koeficient tření f se potom vypočítá se vztahu (5.4)

$$T = f \frac{N}{2}$$

$$M_0 = N - M_0$$

$$M_0 = N (G - G')$$

$$M_0 = 2 r \frac{N}{2}$$

Z rovnosti momentů :

$$R (G - G') = f N r$$

$$f = \frac{R (G - G')}{N r} \quad (5.4)$$

Začteno :

$$R = 14 \text{ mm}$$

$$r = 7 \text{ mm}$$

$$G = 7,8g \pm 16,6N$$

$$G' = 1,1g \pm 10,8N$$

Po dosazení :

$$f = \frac{14 (76,6 - 10,8)}{981,7} = 0,135$$

Z výpočtu vyplývá že koeficient f mezi korundovým hřebíčkem a leštěnou plochou talířku je 0,135 .

6. TEPELNÉ ZPRACOVÁNÍ TALÍŘKŮ

Při návrhu brzdících třecích elementů, kde dochází k dlouhodobému otěru vysokými rychlostmi přise, hraje velkou úlohu volba vhodného materiálu těchto ploch. Velmi vhodným materiálem, který je schopen dobře odolávat otěru je syntetický korund. Z tohoto materiálu byl zhotoven hřebínek brzdíčky při ověřovacích zkouškách. Tento hřebínek je lehko dostupný neboť je vyráběn seriově na př. firmou Schlafherst, je možné jej také lehce zhotovit kalitím dvou korundových tyčinek do drtičku s plastickou hmoty. Druhý z třecích elementů (talířek) není doposud vyráběn seriově. Proto by výroba se syntetického korundu byla velmi nákladná. Hledají se tedy takové tepelné úpravy s mechanickými vlastnostmi, které by dosahovaly mechanických vlastností jako má syntetický korund. Takovými vhodnými materiálem jsou oceli třídy 14 a 15 tepelně upraveny iontovou nitridací.

6.1. STRUČNÝ POPIS IONTOVÉ NITRIDACE

Iontová nitridace má oproti jiným tepelným zpracováním řadu výhod pro které se volila při návrhu této brzdíčky.

Mezi nejdůležitější výhody patří :

- nízká teplota zpracování (350 - 600°C) v důsledku toho, nedochází k nežádoucím vnitřním praskáním, objemovým změnám či deformacím
- výborná odolnost vrstvy vůči otěru, abrazi a korozi
- možnost regulace vlastností vrstev
- oproti klasické metodě nitridace rychlejší nárůst vrstev
- malé změny drsnosti povrchu.

Iontová nitridace probíhá v uzavřeném deuterném výboji při tlaku 0,13 - 1,3 kPa, ve vakuové nádobě, do které je při-

vádná pracovní plyn obsahující dusík. Nádoba je zeměna a tvoří anodu. Oxičelovaná vsázka tvoří katodu a je na ni přiváděno stejnosměrné napětí. Vlivem silného elektrického pole mezi stěnami vakuové nádoby a vsázkou dochází ke vzniku doutnavého výboje a přítomný plyn se štěpí na kladné ionty a elektrony. Kationty bombardují vsázku a část jejich kinetické energie se přeměňuje na teplo, které vsázku rovnoměrně ohřívá. Dopadající ionty na počátku procesu zbavují vsázku mikroskopických nečistot a kyslíčnicků a to jednak mechanickým účinkem a také redukčním účinkem přítomného vodíku. Po očištění vsázky energie doutnavého výboje zesílí a z povrchu vsázky jsou vyráženy atomy železa a legujících prvků, které vytvářejí nitridy s atomárními dusíkem přítomným v plasmatu. Tyto nitridy zpětně kondensují na povrch vsázky, kde se rozpadají na nitridy nižších řádů a takto uvolněný dusík difunduje do povrchu díla.

Odprašování dochází k dokonalému očištění a depasivaci povrchu nitrizovaných součástí. Po dosažení nitrizační teploty, která leží spravidla mezi 350 - 600°C začíná podle druhu oceli s provozního namáhání součástí doba zpracování od 2 min. do 36 hodin. K dosažení větších hloubek lze dobu nitrizace dále prodloužit.

Iontová nitrizace talířku brzděčky z oceli tř. 142000 probíhala po dobu 56 hod. při teplotě 530°C ± 20°C. Dosažlo se zvýšení mikrotvrdosti z 256 HV na 850 HV.

Lepšího výsledku by bylo možno dosáhnout při použití oceli tř. 14 140 neboť velký vliv na tvrdost má přítomnost chrómu mezi legujícími prvky.

7. Závěr

Problematika návrhu optimálního hřebínku je zpracována na počítači NS 10 33 (viz program v příloze). Z výsledku vyplývá, že nejlepší výsledky s ohledem na rotaci talířku, bude dosahováno hřebínky s větší vzdáleností palců. Na praktickém provedení brzdící je použito keramického hřebínku se vzdáleností palců 14 mm, který se plně osvědčil. Jeho optimální úhel nastavení je okolo 20° , což plně vyhovuje s hlediska stáčení talířku i s hlediska správného ovládnutí nečistot. Mále má výhodný koeficient tření s leštěnou plochou talířku (0,135), a dobrou odolnost proti otěru.

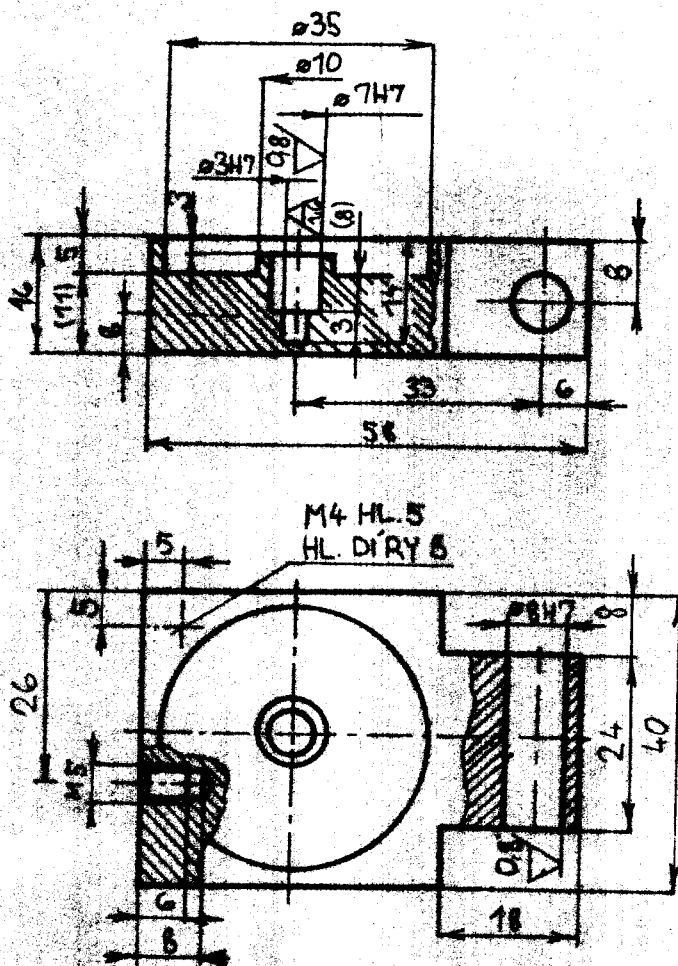
S ohledem na rozměry hřebínku a celkovou stavbu brzdící je vhodný talířek s vnější leštěnou plochou o poloměru $R = 14$ mm a vnitřní zdrcená mezokružím o poloměru $R_1 = 10$ mm. Na talířku jsou připevněny byly naměřeny koeficienty tření mezi přízí a talířkem o něco vyšší než na talířku rýhovaném. Pro praxi jsou vhodné dva způsoby mechanických úprav povrchu, ale s tepelnou úpravou. Vhodnou úpravou je nitridování. I když jsou u nitridovaných talířků naměřené koeficienty tření o něco nižší než u talířků tepelně nezpracovaných, je tato úprava velmi výhodná s ohledem na odolnost proti dlouhodobému otěru.

Provedený teoretický rozbor a praktické ověření, plně prokázaly účinnost samočistící a nově navržené brzdící šky.

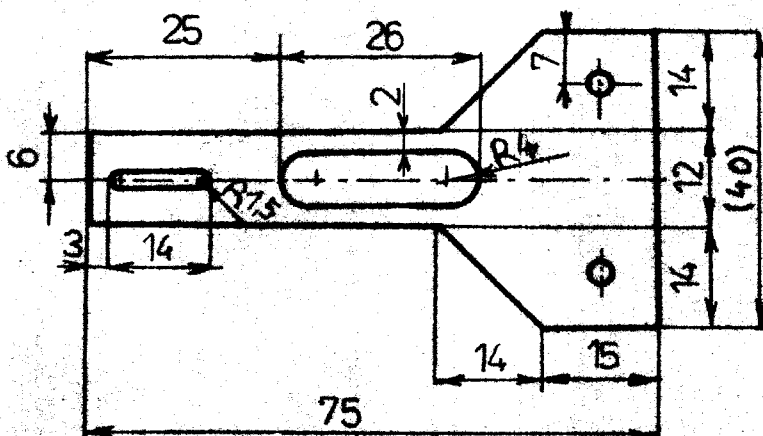
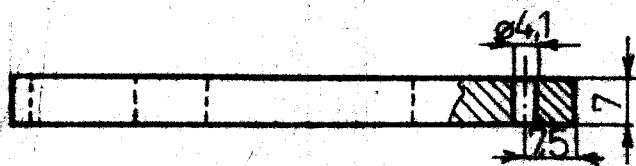
V textilním průmyslu bude využito těchto samočistících brzdíček s regulací nebo bez regulace všude tam, kde činí sandžení brzdíček velká obtíže obsluhu nebo kde

Keči čistění brzdíček složitým mechanickým náhonem. Tím se
dosáhne úspor ve spotřebě elektrické energie a snížení strá-
tových úhrad z důvodu nanesení brzdíčky.

- SEZNAM DIPLOMOVÝCH PRÁCEŮ**
- 1/1) **MAJTL, Vladimír** : **Práce č. 1007 - část I Příprava materiálu ke třetí, VŠST Liberec, 1982**
 - 1/2) **MAJTL, V. - VYKALÁK, Z. - HRÁZEK, J.** : **Praktika se samostatnými úkoly, VV 4238 - 86**
 - 1/3) **HRUBA, Ivo** : **Číslo práce, VŠST Liberec 1978**
 - 1/4) **KLAVÍNEK, Stanislav** : **Thalocovná příprava, SVKL Praha 1980**
 - 1/5) **MAJTL, Vladimír** : **Diplomová práce VŠST Liberec 1986**
 - 1/6) **MAJTL, Vladimír** : **Strojnické tabulky, SVKL Praha 1983**
 - 1/7) **MAJTL, Vladimír** : **Samostatně vypracovaná práce, současná práce SVOC, VŠST Liberec 1987**

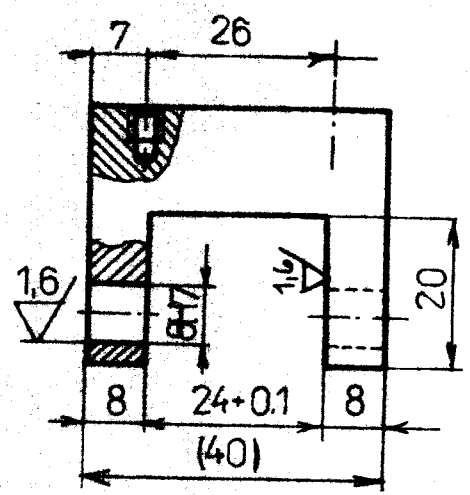
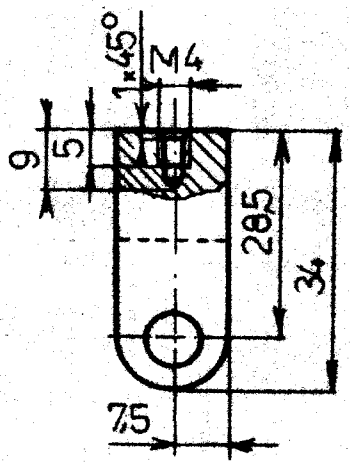


<p>DURAL P 44x18x60 000427306</p>		<p>VSS1 LIBERIC</p>	
<p>DATE: _____</p>	<p>DATE: _____</p>	<p>812</p>	<p>1:1</p>
<p>NORM. REF. _____</p>	<p>SCHVAUL _____</p>	<p>KTS -099.1</p>	<p>KTS -099.1</p>
<p>T E L E S O</p>		<p>KTS-099-04.1</p>	



ZIMANA		DATUM		PODPIS		VSST	
						LIBEREC	
MATERIAŁ		DURAL		T. O.		MIL. TNV57 kg	
PŁYTA		P 70x10x44		CSN427306		MÁPĽNOVÝ 1:1	
KVALITA		PISER		NORM. REF.		C. KUSOVĚ KTS-099.1	
MĚŘENÍ		SO. VALIL		SIT 17 V		C. V.	
NÁZEV		RAMENO		KTS-099-04.3			

3,2 / (▽)



ZNAČKA		DATUM		VSST LIBERER	
MATERIJAL		PODPIŠ		MATERIJAL: ØST kg	
DURAL		T.O.		MERA: 1:1	
P 42x16x3B ČSN 427306				Č. SN.	
FISER		NORM. REF.		Č. KUSOV	
SCHVAHL				KTS-099.1	
RAHEHO				KTS-099-04.2	
				LISIA	

1	2	3	4	5	6	7	8	9	10
2	Knihy P 427875	ČSN427306	42 42 01	-	812	-	KTS-099-04.3		1
1	Vlasec P45 0,5-100	-	812	-	-	-	-	-	2
1	Knihy Knihy	-	-	-	-	-	-	-	3
1	Knihy P 427306	ČSN427306	42 42 01	-	812	-	KTS-099-04.2		4
1	Knihy P 427306	ČSN427306	42 42 01	-	812	-	KTS-099-04.4		5
1	Knihy P 427306	ČSN427306	42 42 01	-	812	-	KTS-099-04.1		6
1	Knihy P 427306	-	812	-	-	-	-	-	7
1	Knihy P 427306	ČSN427306	42 42 01	-	812	-	-	-	8
1	Knihy P 427306	ČSN427306	42 42 01	-	812	-	-	-	9
1	Knihy P 427306	ČSN427306	42 42 01	-	812	-	-	-	10
1	Knihy P 427306	ČSN427306	42 42 01	-	812	-	-	-	11
1	Knihy P 427306	ČSN427306	42 42 01	-	812	-	-	-	12
-	-	-	-	-	-	-	-	-	-
4	Knihy M6-10	ČSN021101	-	-	-	-	-	-	14
6	Knihy M4-10	ČSN021131	-	-	-	-	-	-	15
2	Knihy 4,3	ČSN021702	-	-	-	-	-	-	16
1	Knihy 3,175	ČSN023600	-	-	-	-	-	-	17
3	Knihy M5-12	ČSN021131	-	-	-	-	-	-	18
3	Knihy M3-6	ČSN021131	-	-	-	-	-	-	19
2	Vedlejší číslo	-	KONTRO	-	-	-	-	-	20

111	Křesťanství	FIDEP	Č. nájm.	2. číslo	3. číslo	4. číslo	5. číslo	6. číslo	7. číslo	8. číslo	9. číslo	10. číslo
	Překlad											
	Název, rok											
	Výt. předloha											
	Schvářil		Č. transp.									
	Dne											

Vlast Liberec	Titul	Stupeň	Stav	Název výkazu	1
	Název	KTS-099.1			

1,6 / (▽)

